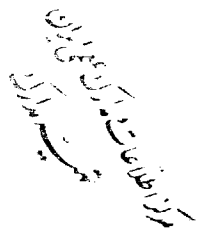


لَهُ مُلْكُ الْأَرْضِ
يَوْمَئِذٍ لَا يَنْزَهُ عَنْهُ
شَفَاعٌ إِلَّا بِنَبِيٍّ

بنام خدا



دانشگاه تهران

دانشکده فنی

۱۳۸۰ / ۹ / ۲۰

گروه مهندسی نقشه برداری

آشکار سازی پدیده جهش فاز در مشاهدات
ماهواره ای GPS با استفاده از تبدیلات
(Wavelet) موجک

گردآورنده :

مهرداد صالحی

۰۱۵۲۳۷

استاد راهنما :

دکتر حسین نهادوندچی

پایان نامه برای دریافت درجه کارشناسی ارشد

در رشته مهندسی نقشه برداری - ژئودزی

مرداد ماه ۱۳۸۰

۳۸۶۴۶۷



دانشگاه تهران
دانشکده فنی
گروه مهندسی نقشه برداری

پایان نامه
برای دریافت درجه کارشناسی ارشد
در رشته مهندسی نقشه برداری-ژئودزی

توسط:
مهرداد صالحی

موضوع:
آشکار سازی پدیده جهش فاز در مشاهدات ماهواره ای GPS
با استفاده از تبدیلات موجک (Wavelet)

از این پایان نامه در تاریخ ۱۳۸۰/۵/۲۷ در مقابل هیئت داوران دفاع به عمل آمد و مورد تصویب قرار گرفت.

مدیر گروه آموزشی: دکتر علیرضا آزموده اردلان
سرپرست تحصیلات تکمیلی گروه: دکتر محمد رضا سراجیان
استاد راهنمای: دکتر حسین نهالوندچی
استاد مدعو: دکتر علیرضا آزموده اردلان
استاد مدعو: دکتر بهزاد وثوقی رکم

تقدیر و تشکر

در گردآوری و انجام این پایان نامه افراد مختلفی مرا یاری دادند که در اینجا لازم میدانم از آنها تشکر و قدردانی نمایم .

از استاد گرامی جناب آقای دکتر حسین نهادنچی که در هدایت و رفع اشکالات این مجموعه مرا یاری دادند سپاسگزارم .

همچنین از دوست گرامی جناب آقای مهندس مجید عباسی که با در اختیار قرار دادن منابعی از تبدیلات موجک کمک شایانی به اینجانب نمودند تشکر می کنم .

همچنین لازم می داشم از شرکت ژئوتک بویژه همکار گرامی جناب آقای مهندس آرام یریت سیان که در جمع آوری بخشی از اطلاعات و انجام برخی آنالیزها مرا همراهی کردن تشکر نمایم .

در پایان لازم می داشم از خانواده عزیزیم بویژه پدر و مادر گرامی ام که همواره در طول مراحل تحصیل مشوق و یاری دهنده من بوده اند ، قدردانی نمایم .

مهرداد صالحی

فهرست مندرجات

صفحه

۱	چکیده
۱	عبارت های کلیدی پایان نامه
۲	بخش اول : مقدمه ای بر GPS
۲	۱- بخش فضایی
۴	۲- بخش کنترل
۵	۳- بخش کاربران
۶	۴- سیگنال های GPS
۶	۱-۴-۱- امواج حامل
۷	۲-۴-۱- کد ها
۷	C/A کد - ۱-۲-۴-۱
۸	P کد - ۲-۲-۴-۱
۸	Y کد - ۳-۲-۴-۱
۸	۳-۴-۱- پیام
۸	۵- مشاهدات GPS
۸	۱-۵-۱- شبیه فاصله
۹	۱-۵-۲- فاز موج حامل
۱۰	۱-۶- خطاهای GPS
۱۰	۱-۶-۱- اشتباہات
۱۰	۲-۶-۱- خطاهای سیستماتیک
۱۰	۳-۶-۱- خطاهای
۱۲	۱-۳-۶-۱- چند مسیره شدن
۱۲	۲-۳-۶-۱- جهش فاز

فصل دوم : آنالیز موجک

۱۴

۱۷	-۱- آنالیز طیفی
۱۸	-۱-۱- آنالیز طیفی فوریه
۱۹	-۲-۱- تبدیل فوریه زمان کوتاه
۲۲	-۲-۲- تاریخچه تئوری موجک
۲۳	-۳-۲- ویژگی توابع موجک
۲۵	-۴-۱- تبدیل موجک پیوسته
۲۷	-۴-۲- محاسبه ضرایب تبدیل موجک پیوسته
۲۸	-۴-۲-۱- آنالیز طیفی موجک
۲۹	-۴-۲-۲- نحوه انتخاب پارامتر مقیاس
۲۹	-۴-۴- روبه و نقشه موجک
۳۰	-۴-۵- رابطه بین مقیاس موجک و فرکانس فوریه
۳۰	-۵-۱- از تبدیل موجک پیوسته تا تبدیل موجک گستته
۳۱	-۶-۱- تئوری چارچوب ها
۳۳	-۷-۲- توابع مقیاس و موجک
۳۶	-۸-۲- تبدیل موجک گستته
۴۴	-۹-۱- برخی کاربردهای تبدیلات موجک
۴۴	-۹-۱-۱- آشکارسازی نایپوستگی های موجود در سری های اطلاعاتی
۴۴	-۹-۲- آنالیز طیفی سری های اطلاعاتی
۴۵	-۹-۳- فشرده سازی سری های اطلاعاتی

بخش سوم : آشکارسازی پدیده جهش فاز با استفاده از تبدیلات موجک

۴۶

۴۷	-۱-۱- علت نیاز به آشکارسازی و حل جهش فاز
۴۷	-۱-۲- علت بوجود آمدن جهش فاز
۴۷	-۱-۲-۱- دلایل وابسته به گیرنده

۴۷	۱-۱-۲-۳- ضعف سیگنال دریافتی
۴۷	۲-۱-۲-۳- دوران یا انحراف آتن در حالت کینماتیک
۴۸	۳-۱-۲-۳- مشکل در پردازش سیگنال
۴۸	۲-۲-۳- دلایل وابسته به مشاهدات
۴۸	۱-۲-۲-۳- وجود مانع بر سرراه دریافت سیگنال
۴۸	۲-۲-۲-۳- وجود نویز
۴۸	۳-۲-۲-۳- ارتفاع پایین ماهواره ها
۴۸	۳-۳- آشکار سازی جهش فاز با استفاده از تبدیلات موجک
۴۹	۱-۳-۳- تشکیل کمیت تست
۴۹	۱-۱-۳-۳- روش باقی مانده های یونوسفریک
۵۱	۲-۱-۳-۳- ترکیب اندازه گیری فاز و شبیه فاصله
۵۲	۲-۳-۳- بررسی کمیت تست
۵۳	۳-۳-۳- استفاده از تبدیلات موجک

بخش چهارم : محاسبات

۵۶	۱-۱- استفاده از تبدیل موجک پیوسته برای آنالیز سری های زمانی ایستا
۵۸	۲-۱- استفاده از تبدیل موجک پیوسته برای آنالیز سری های زمانی نایستا
۵۹	۳-۱- محاسبه ضرایب تبدیل موجک گستته یک سری اطلاعاتی
۶۲	۴-۱- آنالیز مشاهدات GPS بدون خطای جهش فاز
۶۵	۴-۲- آشکار سازی جهش فاز در مشاهدات گیرنده های تک فرکانس Trimble 4000SSE
۶۷	۴-۳- آشکار سازی جهش فاز در مشاهدات گیرنده های دو فرکانس Trimble 4000SSE
۶۷	۴-۴- آشکار سازی جهش فاز در مشاهدات گیرنده های تک فرکانس Leica System 500
۶۸	۴-۵- آشکار سازی جهش فاز در مشاهدات گیرنده های دو فرکانس Leica System 500
۶۹	۴-۶- مقایسه آنالیز مشاهدات حاصل از ماهواره های با ارتفاع متفاوت

بخش پنجم: نتیجه گیری

بخش ششم: ضمائم

۱-۶- آنالیز تابعی

۲-۶- قضیه تلفیق

۳-۶- نمونه هایی از توابع موجک مادر

منابع

۹۱

۹۳

۹۳

۹۰

۹۵

۹۷

فهرست اشکال

صفحه

- شکل ۱-۲- نمایش تابع موجک Morlet و شکل تابع در سه مقیاس مختلف .
۲۴
- شکل ۲-۲- نمایش تابع موجک Morlet و شکل تابع به ازای سه مقدار انتقال مختلف .
۲۵
- شکل ۳-۲- نمایش تابع موجک Morlet در مقیاس های مختلف و وضعیت
این تابع نسبت به سری زمانی مورد بررسی .
۲۶
- شکل ۴-۲- نمایش تابع موجک Morlet و انتقال یافته این تابع بر روی یک سری
زمانی نایستا .
۲۶
- شکل ۵-۲- تابع مقیاس هار .
۳۵
- شکل ۶-۲- تابع موجک هار .
۳۵
- شکل ۷-۲- فیلتر نمونه گیر پایین .
۳۹
- شکل ۸-۲- آلگوریتم هرمی .
۴۱
- شکل ۹-۲- نمایش اثر بانک فیلتر بر روی طیف سری اطلاعاتی .
۴۲
- شکل ۱-۳- قابلیت تفکیک زمانی - فرکانسی در تبدیل موجک .
۵۳
- شکل ۱-۴- سری زمانی نایستا با فرکانس های ۲۰ ، ۴۰ و ۶۰ هرتز .
۷۱
- شکل ۲-۴- رویه و نقشه موجک (مقیاس - زمان) سری زمانی شکل ۱-۴ .
۷۲
- شکل ۳-۴- رویه و نقشه موجک (فرکانس - زمان) سری زمانی شکل ۱-۴ .
۷۳
- شکل ۴-۴- سری زمانی نایستا با فرکانس ۲۰ هرتز در ۰ تا ۰/۲ ثانیه ، ۴۰ هرتز
در ۰/۲ تا ۰/۵ ثانیه ۶۰ هرتز در ۰/۵ تا ۰/۸ ثانیه .
۷۴
- شکل ۵-۴- رویه و نقشه موجک (مقیاس - زمان) سری زمانی شکل ۱-۴ .
۷۵
- شکل ۶-۴- رویه و نقشه موجک (فرکانس - زمان) سری زمانی شکل ۱-۴ .
۷۶
- شکل ۷-۴- مشاهده موج L بدون جهش فاز .
۷۷
- شکل ۸-۴- سری اطلاعاتی در گیرنده های تک فرکانسی ، بدون جهش فاز .
۷۷
- شکل ۹-۴- رویه و نقشه موجک سری اطلاعاتی بدون جهش فاز در
گیرنده های تک فرکانسی .
۷۸

- شکل ۴-۱۰- خروجی فیلترهای پایین گذر و بالا گذر که روی سری اطلاعاتی بدون جهش فاز در گیرنده های تک فرکانسه اعمال شده اند .
۷۸
- شکل ۴-۱۱- کمیت تست در گیرنده های دو فرکانسه ، بدون جهش فاز .
۷۹
- شکل ۴-۱۲- نقشه و رویه موجک در گیرنده های دو فرکانسه ، بدون جهش فاز .
۷۹
- شکل ۴-۱۳- ضرایب تبدیل موجک گستته یا اثر فیلترهای پایین گذر و بالا گذر بر روی سری اطلاعاتی بدون جهش فاز در گیرنده های دو فرکانسه .
۸۰
- شکل ۴-۱۴- مشاهده فاز ۱ همراه با جهش فازی به میزان یک دور در مبدأ زمانی صدم .
۸۰
- شکل ۴-۱۵- سری اطلاعاتی در گیرنده تک فرکانس Trimble همراه با یک دور جهش فاز در مبدأ زمانی صدم .
۸۱
- شکل ۴-۱۶- نقشه و رویه موجک در گیرنده تک فرکانس Trimble همراه با یک دور جهش فاز در مبدأ زمانی صدم .
۸۱
- شکل ۴-۱۷- خروجی های فیلترهای بالا گذر و پایین گذر سری اطلاعاتی گیرنده تک فرکانسه ، Trimble همراه با جهش فاز در مبدأ زمانی صدم .
۸۲
- شکل ۴-۱۸- سری اطلاعاتی در گیرنده تک فرکانس Trimble همراه با ۵ دور جهش فاز در مبدأ زمانی صدم .
۸۲
- شکل ۴-۱۹- نقشه و رویه موجک در گیرنده تک فرکانس Trimble همراه با ۵ دور جهش فاز در مبدأ زمانی صدم .
۸۳
- شکل ۴-۲۰- خروجی فیلترهای پایین گذر و بالا گذر سری اطلاعاتی در گیرنده های تک فرکانس Trimble با ۵ دور جهش فاز در مبدأ زمانی صدم .
۸۳
- شکل ۴-۲۱- سری اطلاعاتی در گیرنده دو فرکانس Trimble همراه با یک دور جهش فاز در مبدأ زمانی صدم .
۸۴
- شکل ۴-۲۲- نقشه و رویه موجک سری اطلاعاتی در گیرنده دو فرکانس Trimble همراه با یک دور جهش فاز در مبدأ زمانی صدم .
۸۴
- شکل ۴-۲۳- خروجی فیلترهای پایین گذر و بالا گذر سری اطلاعاتی در گیرنده دو فرکانس Trimble همراه با یک دور جهش فاز در مبدأ زمانی صدم .
۸۵
- شکل ۴-۲۴- سری اطلاعاتی در گیرنده های تک فرکانس Leica همراه با یک دور جهش فاز در مبدأ زمانی صدم .
۸۵
- شکل ۴-۲۵- نقشه و رویه موجک سری اطلاعاتی در گیرنده های تک فرکانسه

- ۸۶ شکل ۴-۲۶- خروجی فیلترهای پایین گذر و بالاگذر اطلاعاتی در گیرنده های Leica با یک دور جهش فاز در مبدأ زمانی صدم.
- ۸۶ شکل ۴-۲۷- سری اطلاعاتی در گیرنده های تک فرکانس Leica همراه با چهار دور جهش فاز در مبدأ زمانی صدم.
- ۸۷ شکل ۴-۲۸- نقشه و رویه موجک سری اطلاعاتی در گیرنده های تک فرکانس Leica همراه با چهار دور جهش فاز در مبدأ زمانی صدم.
- ۸۷ شکل ۴-۲۹- خروجی فیلترهای بالاگذر و پایین گذر سری اطلاعاتی در گیرنده های تک فرکانس Leica همراه با چهار دور جهش فاز در مبدأ زمانی صدم.
- ۸۸ شکل ۴-۳۰- سری اطلاعاتی در گیرنده های دو فرکانس Leica همراه با یک دور جهش فاز در مبدأ زمانی صدم.
- ۸۹ شکل ۴-۳۱- نقشه و رویه موجک سری اطلاعاتی در گیرنده دو فرکانس Leica همراه با یک دور جهش فاز در مبدأ زمانی صدم.
- ۸۹ شکل ۴-۳۲- خروجی فیلترهای پایین گذر و بالاگذر سری اطلاعاتی در گیرنده دو فرکانس Leica همراه با یک دور جهش فاز در مبدأ زمانی صدم.
- ۹۰ شکل ۴-۳۳- خروجی فیلتر بالا گذر و نقشه موجک سری اطلاعاتی ماهواره شماره ۵.
- ۹۰ شکل ۴-۳۴- خروجی فیلتر بالاگذر و نقشه موجک سری اطلاعاتی ماهواره شماره ۲۹.

فهرست جداول

صفحه

جدول ۱-۴- مشاهدات فاز L_1 ، کد P و کمیت تست حاصل از ترکیب آنها برای تعداد ده فاصله زمانی .	۶۲
جدول ۲-۴- مشاهدات فاز L_1 ، فاز L_2 و کمیت تست حاصل از ترکیب آنها برای تعداد ده فاصله زمانی	۶۴
جدول ۱-۶- مشخصات چند تابع موجک .	۹۶

چکیده

استفاده از GPS به منظور تعیین موقعیت دقیق نیازمند بکارگیری مشاهدات فاز موج حامل است. عوامل زیادی بر روی مشاهدات فاز موج حامل اثر می‌گذراند و باعث کاهش دقت این مشاهدات می‌گردند. یکی از این عوامل پدیده جهش فاز است. بنابراین برای رسیدن به دقت مطلوب در تعیین موقعیت نیازمند آشکارسازی و حل این پدیده هستیم.

برای آشکارسازی پدیده جهش فاز، با توجه به نوع گیرنده، خواه تک فرکانسی یا دو فرکانسی، ابتدا باید کمیت تست تشکیل داده شود. سپس با بررسی این کمیت تست ناپیوستگی‌های موجود در آنها که همان پدیده جهش فاز می‌باشد، آشکار می‌شود. روش‌های مختلفی جهت آشکارسازی این ناپیوستگی‌ها وجود دارد که استفاده از تبدیلات موجک یکی از این روش‌ها است. در تبدیل موجک پیوسته با استفاده از انتقال و مقیاس تابع موجک مادر، ضرایب تبدیل موجک پیوسته کمیت تست محاسبه می‌گردد و سپس از این ضرایب برای نمایش طیف کمیت تست استفاده می‌گردد. وجود ناپیوستگی در کمیت تست باعث جهش ناگهانی در طیف حاصل از این تبدیل می‌گردد.

با استفاده از تبدیل موجک گسته و استفاده از خروجی فیلترهای بالاگذر این تبدیل نیز امکان آشکارسازی پدیده جهش فاز وجود دارد. زیرا جهش فاز پدیده‌ای با فرکانس بالا است و جهش ناگهانی در خروجی فیلتر نشان دهنده وجود این پدیده است.

در این پایان نامه اطلاعات دریافتی توسط گیرنده‌های تک فرکانسی و گیرنده‌های دو فرکانسی دز دو فاصله زمانی مختلف مورد بررسی قرار گرفته است و نتایج حاصله از آنالیز این اطلاعات نشان می‌دهد که پدیده جهش فاز در گیرنده‌های دو فرکانسی دقیق‌تر از گیرنده‌های تک فرکانسی قابل آشکارسازی است و در گیرنده‌های تک فرکانسی نیز Leica System 500 نویز کمتری دارد. همچنین استفاده از تبدیل موجک گسته نسبت به تبدیل موجک پیوسته به منظور آشکارسازی ناپیوستگی‌ها به دلیل تفکیک فرکانس‌های بالا و پایین در تبدیل موجک گسته، ارجحیت دارد.

عبارت‌های کلیدی پایان نامه: جهش فاز، تبدیل موجک پیوسته، تبدیل موجک گسته، فیلتر پایین گذر، فیلتر بالاگذر، کمیت تست، سری اطلاعاتی.

فصل اول

GPS مقدمه ای بر

سیستم تعیین موقعیت جهانی، سیستمی است که امکان تعیین موقعیت را به طور پیوسته بر روی سطح زمین و بالای آن فراهم آورده است. این سیستم در ابتدا به منظور کاربری نظامی و تعیین موقعیت آنی با دقت ۱۰ متر طراحی گردید ولی رفته در تعیین مختصات غیرنظامی نیز نقش مؤثری ایفا نموده است.

با بکارگیری روش های مختلف مشاهداتی، امکان بدست آوردن مختصات نقاط و تعیین موقعیت با دقت بیشتر نیز وجود دارد، بنابراین بکارگیری این سیستم در ژئودزی و ژئودینامیک نقش موثری پیدا کرده است. این سیستم از ۳ بخش عمده تشکیل شده است که عبارتند از [17]:

۱-۱- بخش فضایی^۱

۱- Space Segment

بخش فضایی این سیستم شامل ۲۱ ماهواره (و ۳ ماهواره ذخیره فعال) می باشد. این ماهواره ها در ۶ صفحه مداری تقریباً دایره ای با زوایه میل مداری 55° قرار گرفته اند. ارتفاع ماهواره ها از زمین حدود ۲۰۲۰ کیلومتر می باشد و پریود حرکت ماهواره ها ۱۲ ساعت نجومی است، بنابراین هندسه ماهواره ها هر روز ۴ دقیقه زودتر نسبت به زمان جهانی تکرار می شود.

ماهواره های این سیستم به ۳ دسته تقسیم بندی می شوند:

ماهواره های بلوک I: یازده ماهواره این بلوک بین سالهای ۱۹۷۸ تا ۱۹۸۵ در دو صفحه مداری پرتاب شدند. طول عمر ۵ سال برای این ماهواره ها پیش بینی شده بود ولی در عمل عمر بیشتری داشتند.

ماهواره های بلوک II: اولین سری از این ماهواره ها در فوریه سال ۱۹۸۹ به فضا پرتاب شدند، تعداد این ماهواره ها جمعاً ۲۸ عدد بود که به منظور پشتیبانی از ترکیب $21+3$ ماهواره طراحی شده بودند.

ماهواره های بلوک IIR: و در نهایت ۲۰ ماهواره بلوک IIR جانشین ماهواره های بلوک II شدند.

ماهواره های بلوک IIF: این ماهواره ها نسل جدیدی از ماهواره های GPS هستند که در آینده به منظور پیشرفت ترکردن این سیستم به فضا پرتاب خواهند شد. (تعداد ماهواره های موجود در فضا در حال حاضر ۲۸ دستگاه است). استفاده از کد C/A بر روی موج حامل L_2 از ویژگی های این ماهواره ها می باشد. علاوه بر این، این ماهواره ها موج حامل سومی به نام L_5 ارسال خواهند کرد. این موج با فرکانس $1176/45 \text{ MHz}$ فرستاده خواهد شد [18].

اساس ساختمان سیگنال L_1 مشابه سیگنال L_2 است، در واقع موج حاملی است که یک نویز شبه تصادفی با استفاده از مدولاسیون فازی روی آن سوار شده است. موج شبه تصادفی سیگنال L_1 با کدهای C/A و P که بر روی امواج L_1 و L_2 فرستاده می شود متفاوت است [18].